

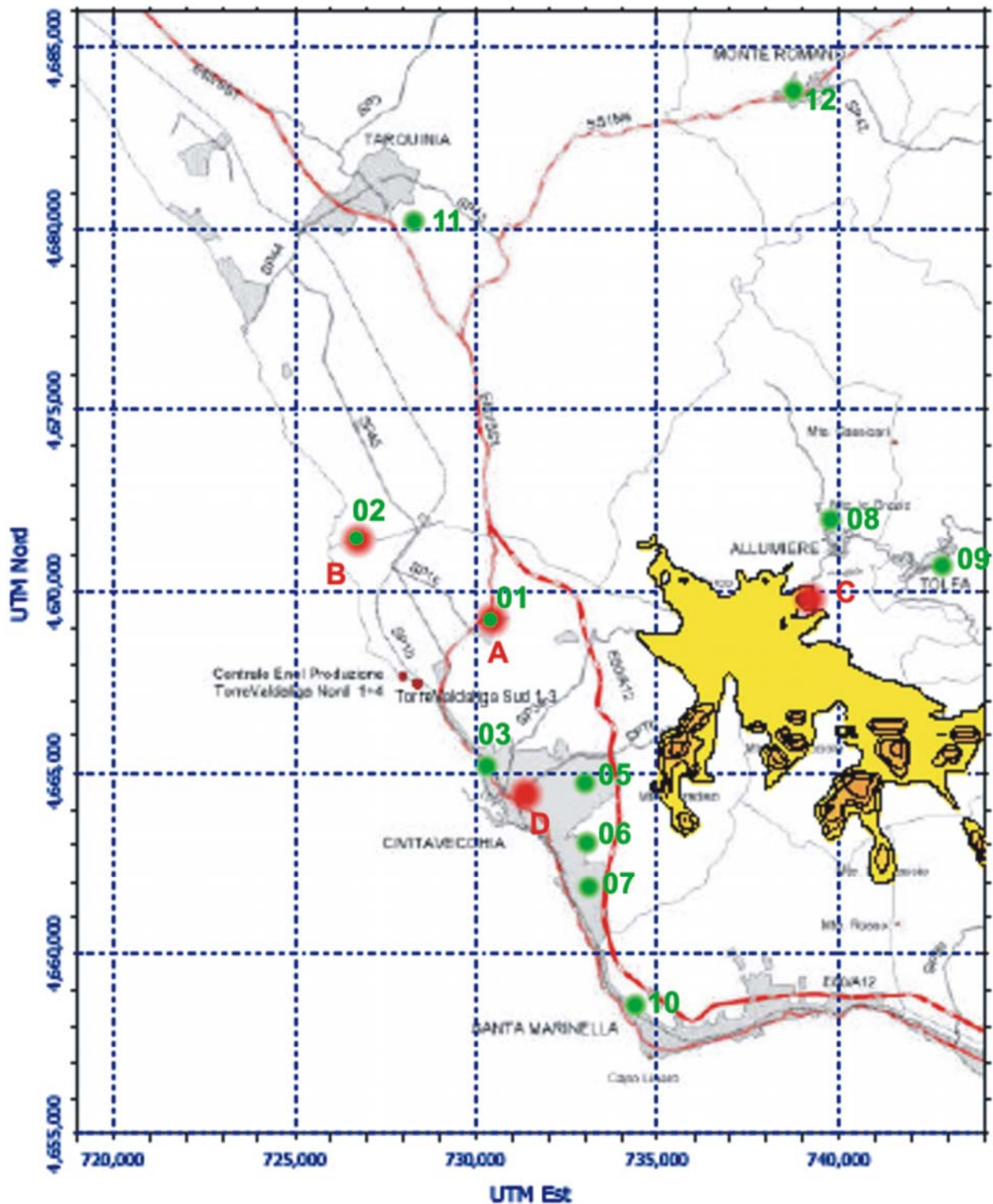
ALLEGATO 4

**Correlazione tra
la dislocazione geografica delle postazioni
della rete di rilevamento della qualità dell'aria e
le curve di isoconcentrazione di NO₂, SO₂ e PTS**

NO₂ - 98° Percentile delle concentrazioni medie orarie (µg/m³)

** Situazione futura TorreValdaliga Nord - 3 x 660 MWe **

Valore massimo = 24 (µg/m³)



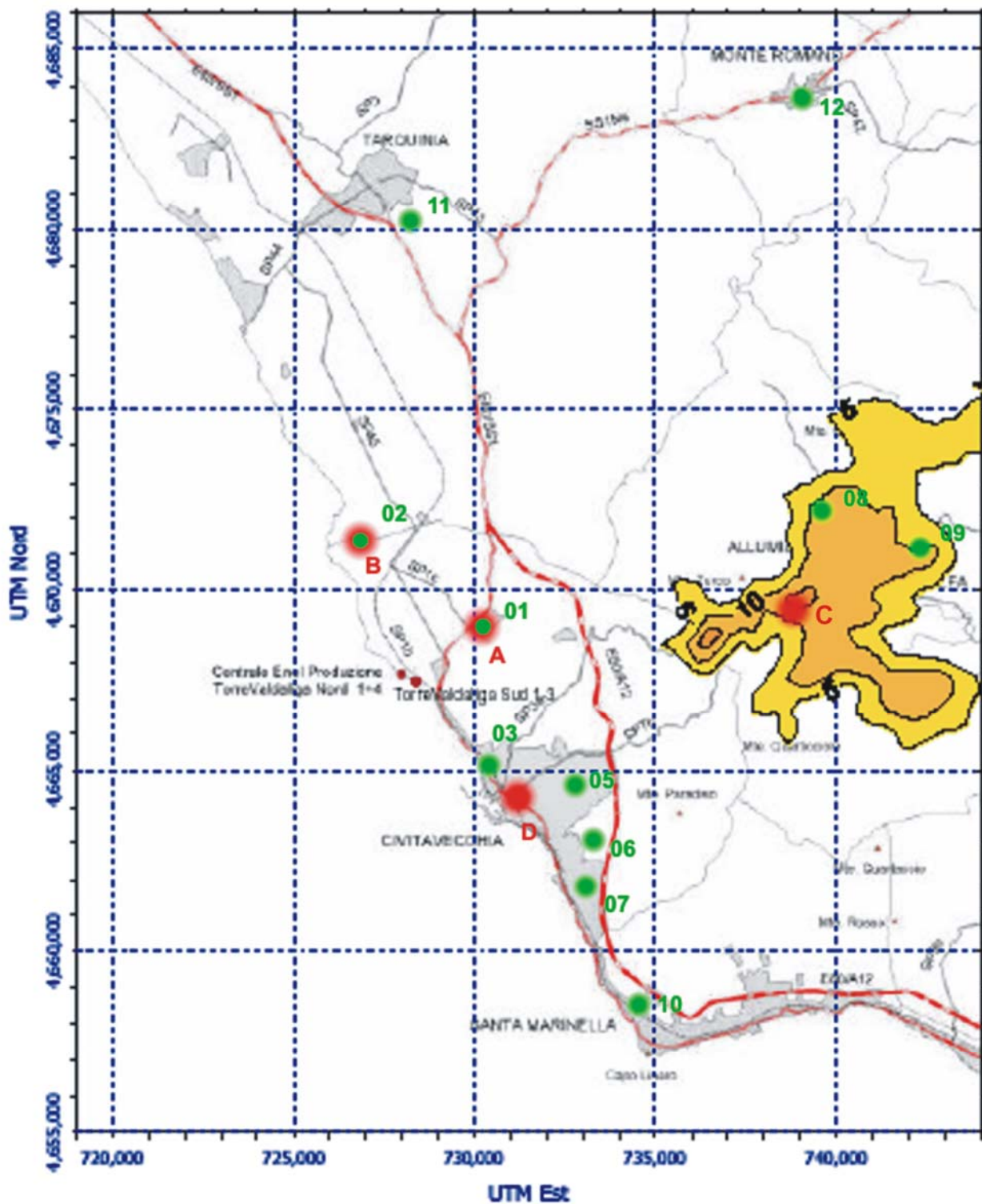
Correlazione tra la dislocazione geografica delle postazioni della rete di rilevamento della qualità dell'aria e le curve di isoconcentrazione di NO₂

Legenda:

01 ÷ 12 Postazioni della rete di rilevamento della qualità dell'aria

A ÷ D Postazioni delle campagne di indagine sui microinquinanti

SO₂ - 98° Percentile delle concentrazioni medie giornaliere (µg/m³)
 ** Situazione futura TorreValdaliga Nord - 3 x 660 MWe **
 Valore massimo = 18 (µg/m³)



Correlazione tra la dislocazione geografica delle postazioni della rete di rilevamento della qualità dell'aria e le curve di isoconcentrazione di SO₂

Legenda:

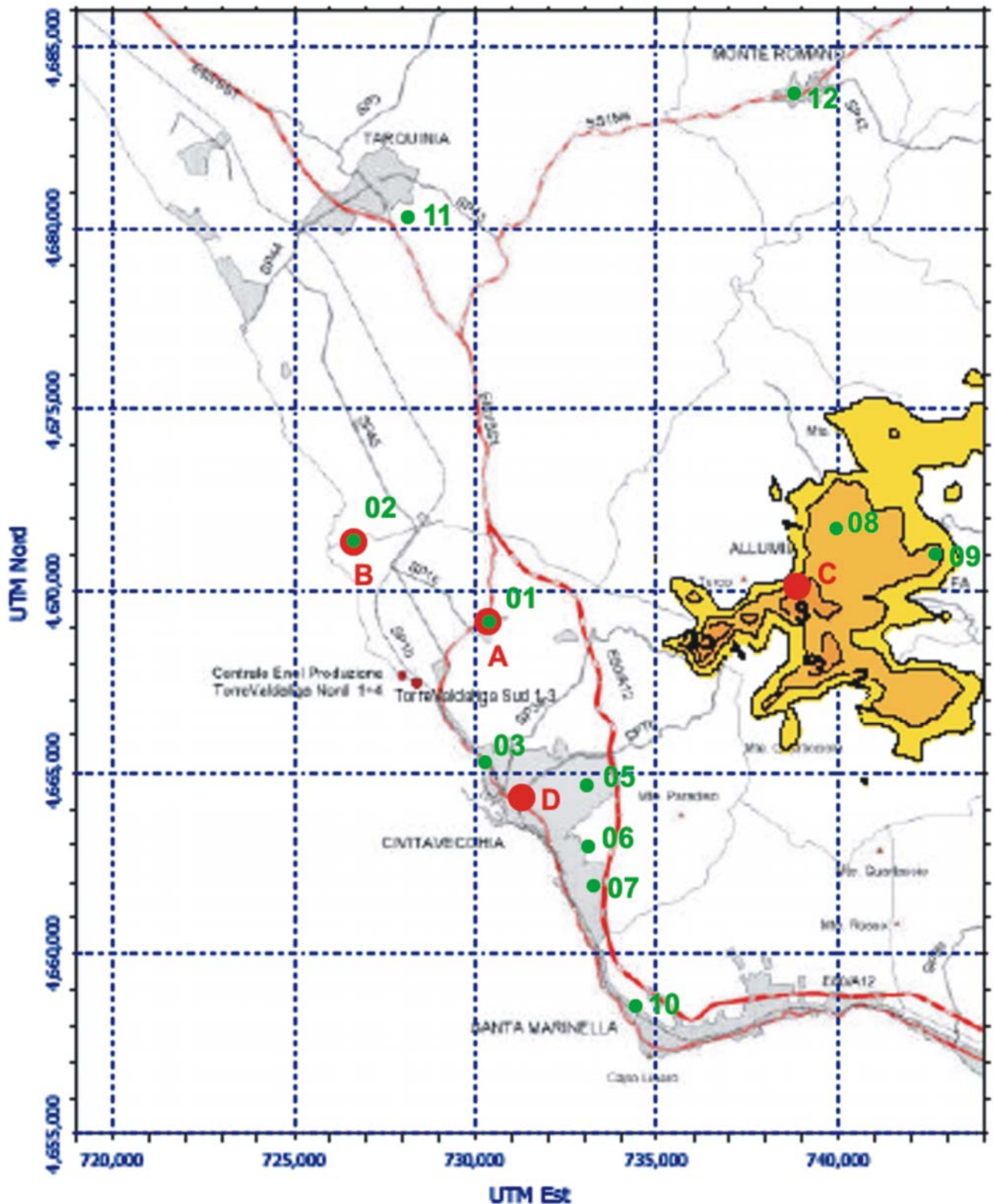
01 ÷ 12 Postazioni della rete di rilevamento della qualità dell'aria

A ÷ D Postazioni delle campagne di indagine sui microinquinanti

PTS - 98.1° Percentile medie concentrazioni ($\mu\text{g}/\text{m}^3$)

** Situazione futura TorreValdaliga Nord - 3 x 660 MWe **

Valore massimo = $3.6 (\mu\text{g}/\text{m}^3)$



Correlazione tra la dislocazione geografica delle postazioni della rete di rilevamento della qualità dell'aria e le curve di isoconcentrazione di PTS

Legenda:

01 ÷ 12 Postazioni della rete di rilevamento della qualità dell'aria

A ÷ D Postazioni delle campagne di indagine sui microinquinanti